

# Autómatas Celulares

## Trabajo Practico Nro. 2

Badi Leonel, Buchhalter Nicolás Demián y Meola Franco  
Román

7 de abril de 2016

# Fundamentos

## Introducción

- Autómata Off-Lattice de Bandadas de Agentes Autopropulsados.
- Basado en el algoritmo del trabajo de *Novel type of phase transition in a system of self-driven particles*.
- Cada agente será representado por un vector de velocidad cuyo origen estará ubicado en la posición de la partícula para cada tiempo de la simulación  $t$ .

# Fundamentos

## Variables relevantes

- $N$  : cantidad de agentes
- $L$  : longitud del lado del área de simulación
- $r_c$  : radio de interacción de las partículas
- $v$  : módulo de la velocidad
- $\rho = \frac{N}{L^2}$  : densidad
- $\eta$  : amplitud del ruido
- $v_a$  : parámetro de orden
- Nos interesa obtener las curvas de  $v_a$  en función de  $\eta$  y  $\rho$ .

# Implementación

## Generación de los agentes

- Posiciones  $(x, y)$  aleatorias para cada agente.
- $r = 0,1$
- $v_{cte} = 0,3$
- $\theta_0 = rand() * 2\pi$  (ángulo inicial aleatorio)
- $\delta_\theta = (rand() * \eta) - \frac{\eta}{2}$

# Implementación

## Modelo del Agente

Una partícula está compuesta por:

- $(x, y)$ : Posición
- $|v|$ : Módulo de la velocidad
- $\theta$  : Ángulo
- Lista de agentes vecinos

# Implementación

## Modelo del Sistema

El sistema está compuesto por:

- $N$
- $L$
- $r_c$
- Longitud del lado de un elemento de la grilla
- Lista de partículas
- Arreglo de listas de partículas

# Implementación

## Simulación

```
for(Frame frame : frames) {  
    List<Particle> particles = calculateNeighbours();  
    for(Particle particle : particles) {  
        particle.updateAngleAndPosition();  
        if(particle.isInBorderPosition()) {  
            particle.makePeriodicTraslation();  
        }  
    }  
    saveFrameData();  
}
```

Código 1: Algoritmo de simulación de partículas.

# Implementación

## Visualización

- La simulación y la visualización son independientes
- El algoritmo de simulación escribe un archivo `.tsv` con los siguientes datos:
  - $(x, y)$
  - $r$
  - Color RGB para indicar las velocidades, donde R es la componente en el eje Y y G es la componente en eje X
- Por último, se carga en `Ovito` el archivo de salida `.tsv` para hacer la visualización



# Resultados

$N = 40$ ,  $L = 3,1$  y  $r_c = 1$

$\eta$	$v_a$
0.0	1.00000
0.5	0.98799
1.0	0.95777
1.5	0.89056
2.0	0.82847
2.5	0.71321
3.0	0.55152
3.5	0.53482
4.0	0.42995
4.5	0.38458
5.0	0.11822

Tabla: Datos de la curva de  $v_a$  para  $N = 40$ ,  $L = 3,1$  y  $r_c = 1$ .

# Resultados

$N = 400$ ,  $L = 10$  y  $r_c = 1$

$\eta$	$v_a$
0.0	0.99999
0.5	0.97909
1.0	0.87444
1.5	0.78458
2.0	0.70671
2.5	0.25537
3.0	0.46229
3.5	0.35985
4.0	0.13354
4.5	0.06530
5.0	0.04682

**Tabla:** Datos de la curva de  $v_a$  para  $N = 400$ ,  $L = 10$  y  $r_c = 1$ .

# Resultados

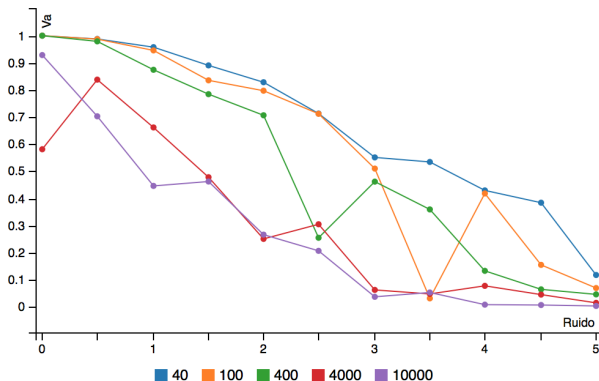
$N = 10000$ ,  $L = 50$  y  $r_c = 1$

$\eta$	$v_a$
0.0	0.92861
0.5	0.07030
1.0	0.44647
1.5	0.46268
2.0	0.26689
2.5	0.20727
3.0	0.03786
3.5	0.05376
4.0	0.00901
4.5	0.00760
5.0	0.00412

**Tabla:** Datos de la curva de  $v_a$  para  $N = 10000$ ,  $L = 50$  y  $r_c = 1$ .

# Resultados

## Gráfico

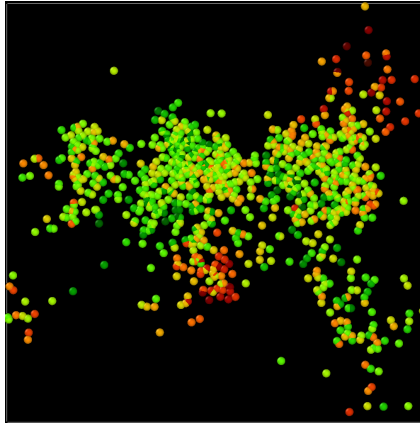


**Grafico:** Gráfico de la curva de  $v_a$  para distintos valores de  $N$ ,  $L$  y  $\eta$ .

<http://bl.ocks.org/lbadi/05bfacbb96e14df499a7ef18b37ca2cc>

# Resultados

## Animaciones



**Grafico:** Ver archivos .avi en la demostración en vivo.